

ΚΟΙΤΑΣΜΑΤΟΛΟΓΙΑ.— 'Η κατανομὴ τῶν ἰχνοστοιχείων **Co** καὶ **Ni** εἰς τὸ μετάλλευμα χαλκούχου σιδηροπυρίτου τῆς περιοχῆς Ἐρμιονίδος Ἀργολίδος, ὑπὸ **Στ. Σκουνάκη καὶ Ε. Σοβατζόγλου***. Ἀνεκοινώθη ὑπὸ τοῦ Ἀκαδημαϊκοῦ κ. I. Τρικαλινοῦ.

Ε Ι Σ Α Γ Ω Γ Η

Τὸ λίαν ἀξιόλογον κοίτασμα χαλκούχου σιδηροπυρίτου τῆς περιοχῆς Ἐρμιονίδος εἰς τὴν νοτιαντολικὴν Ἀργολίδα ἀπετέλεσεν κατὰ τὸ παρελθόν ἀντικείμενον μελέτης πολλῶν ἐρευνητῶν, διάφοροι δὲ ἀπόψεις ἔχουν κατὰ καιροὺς διατυπωθῆ ὅσον ἀφορᾷ εἰς τὰς συνθήκας γενέσεως αὐτοῦ. Οὕτως, ὑπὸ τῶν κυρίων ἐρευνητῶν αὐτοῦ χαρακτηρίζεται ὡς ὑδροθερμικὸν (*Ἄρωνης*, 1938), ὡς καθαρῶς μαγματικὸν ἐκτεινόμενον καὶ ὡς καθαρῶς ὑδροθερμικὸν συνδεόμενον μετὰ ὑπερβασικῶν πετρωμάτων (*Μούσουλος*, 1958), καὶ τέλος ὡς ἀτμιδουδροθερμικὸν - ἵζηματογενὲς (*Ἀρανίτης*, 1963).

Πρὸς περαιτέρω διερεύνησιν τῶν συνθηκῶν μεταλλογενέσεως, ἐρευνᾶται ἐνταῦθα ἡ παρουσία καὶ ἡ κατανομὴ τῶν στοιχείων **Co**, **Ni** καὶ **Cu** εἰς τὸ μετάλλευμα (τῶν **Co**, **Ni** ὡς ἰχνοστοιχείων ἐντὸς τοῦ μεταλλεύματος, τοῦ **Cu** ὡς δὲ λιγοστοιχείου ἐντὸς τοῦ σιδηροπυρίτου). Τὰ στοιχεῖα ταῦτα, ὡς γνωστόν, εἶναι τὰ κατ' ἔξοχὴν συγκεντρούμενα εἰς βασικὰ μάγματα περιέχοντα θειούχους ἐνώσεις καὶ δίδοντα γένεσιν εἰς κοιτάσματα ἀνάλογα πρὸς τὸ ἔξεταζόμενον, παρέχουν δὲ τὰ στοιχεῖα ταῦτα χρησίμους πληροφορίας περὶ τῶν μεταλλογενετικῶν συνθηκῶν.

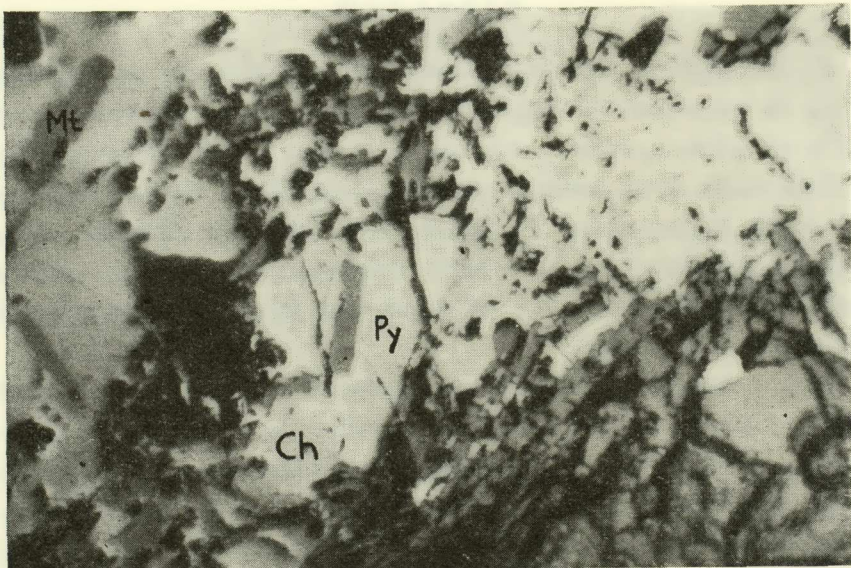
Γενικῶς, τὸ κοίτασμα ἀποτελεῖται ἐκ τριῶν κυρίων μεταλλοφόρων σωμάτων (*Καρακασίου*, *Ροδού* καὶ *Καψοσπιτίου*), συνδέεται δὲ μετὰ τῶν βασικῶν πετρωμάτων τῆς περιοχῆς, τὰ δύο ταῦτα ἀνήκουν εἰς τὴν κατηγορίαν τῶν διαβασῶν.

Ἄπὸ δρυκτολογικῆς ἀπόψεως τὸ μετάλλευμα συνίσταται κυρίως ἐκ σιδηροπυρίτου καὶ χαλκοπυρίτου μὲ παρουσίαν ἐνίστε σφαλερίτου καὶ γαληνίτου. Μαγνητίτης διεπιστώθη εἰς τὴν περιοχὴν *Καρακασίου* (*Μούσουλος*) καὶ τελευταίως εἰς τὴν περιοχὴν *Καψοσπιτίου*, ὅπου ἀπαντῷ εἰς ηὑξημένην συμμετοχὴν ἐντὸς τοῦ μεταλλεύματος. Οὕτος ἐμφανίζεται ὑπὸ μορφὴν ἐπιμήκων, προσματικῶν κρυστάλλων κατὰ τὸ μᾶλλον προσανατολισμένων πρὸς μίαν κυρίως κατεύθυνσιν, ἐνίστε δὲ καὶ κεκαμμένων. Ο παρατηρηθεὶς προσανατολισμὸς καὶ κάμψεις τῶν κρυστάλλων τοῦ μαγνητίτου πιθανῶς νὰ ὀφείλωνται εἰς τεκτονικὰ αἴτια. Συμμετοχὴ *Ti*

* ST. SKOUNAKIS and E. SOVATZOGLOU, *The Co, Ni distribution in the Cu-bearing pyrite deposit of Hermione area (SE Argolis)*.

καὶ Cr δὲν διεπιστώθη εἰς τὸν μαγνητίτην κατὰ τὴν διὰ τοῦ μικροαναλυτοῦ ἀνάλυσιν αὐτοῦ.

*Ἐκ τῶν παρατηρηθεισῶν μιορφῶν συμφύσεως μεταξὺ τοῦ μαγνητίτου καὶ τῶν ὑπολοίπων ὁρυκτῶν τῆς μεταλλοφόρου παραγενέσεως, συνάγεται ὅτι ὁ μαγνητίτης εἶναι σαφῶς προγενέστερος ὅλων τῶν ἄλλων ὁρυκτῶν, ἡ κρυστάλλωσις



Εἰκ. 1. Διαδοχικὴ σειρὰ κρυσταλλώσεως μαγνητίτου (Mt), σιδηροπυρίτου (Py) καὶ χαλκοπυρίτου (Ch), Nicols //, $\times 120$.

τῶν ὁποίων ἐγένετο κατὰ τὴν σειράν : μαγνητίτης, σιδηροπυρίτης, χαλκοπυρίτης (εἰκ. 1). *Ἐπίσης εἰς μεταγενέστερον στάδιον καὶ τοῦ σιδηροπυρίτου ἐγένετο καὶ ὁ σχηματισμὸς τοῦ σφαλερίτου καὶ τοῦ γαληνίτου.

*Οσον ἀφορᾶ εἰς τὸν σιδηροπυρίτην, ὁ ὁποῖος εἶναι καὶ τὸ ἐν μεγαλυτέρᾳ ἀφθονίᾳ ὁρυκτὸν τοῦ μεταλλεύματος, παρουσιάζεται ἀφ' ἐνὸς μὲν ὑπὸ τὴν μιορφὴν ἴδιομόρφων, ἀρκετὰ εὐμεγέθων κρυστάλλων καὶ ἀφ' ἑτέρου ὑπὸ λεπτοκρυσταλλικήν, στιφρὰν τοιαύτην. *Ἐν γένει εἰς τὰς περιοχὰς Καρακασίου καὶ Καψοπιτίου ἐπικρατεῖ πλέον ἀδροκρυσταλλικὸς ἵστος τοῦ μεταλλεύματος ἐν σχέσει πρὸς τὸν Ρορόν.

Κατανομὴ τῶν στοιχείων Co, Ni, Cu ἐντὸς τοῦ μεταλλεύματος.

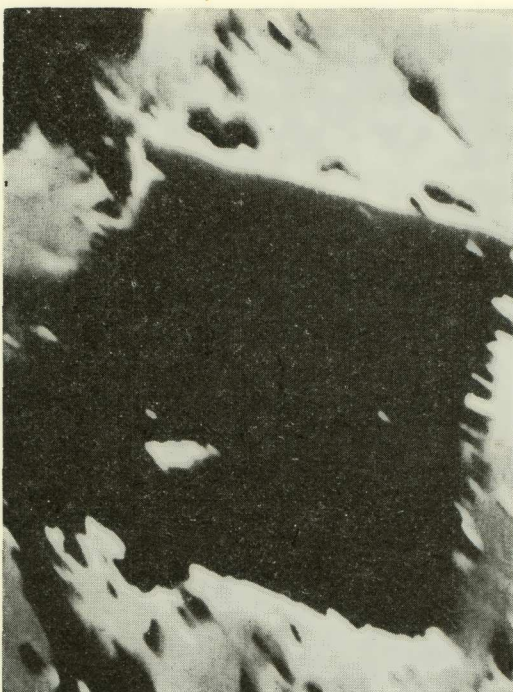
*Ἡ παροῦσα μελέτη ἐξεπονήθη τῇ βοηθείᾳ ἀναλύσεων γενομένων διὰ τοῦ

ήλεκτρονικοῦ μικροαναλυτοῦ τοῦ Ἑργαστηρίου Κοιτασματολογίας τοῦ Πανεπιστημίου Ἀθηνῶν.

Αἱ συνθῆκαι ἐργασίας κατὰ τὴν πραγματοποιηθεῖσαν ἔρευναν ἦσαν :

Τάσις ἐπιταχύνσεως : 20 KV.

Ἐντασις ρεύματος δέσμης : 50 nA.



Εἰκ. 2. Ἰδιόμορφος κρύσταλλος σιδηροπυρίτου ἐντὸς χαλκοπυρίτου.

·Ηλεκτρόνια δευτερογενῆ, X 500.

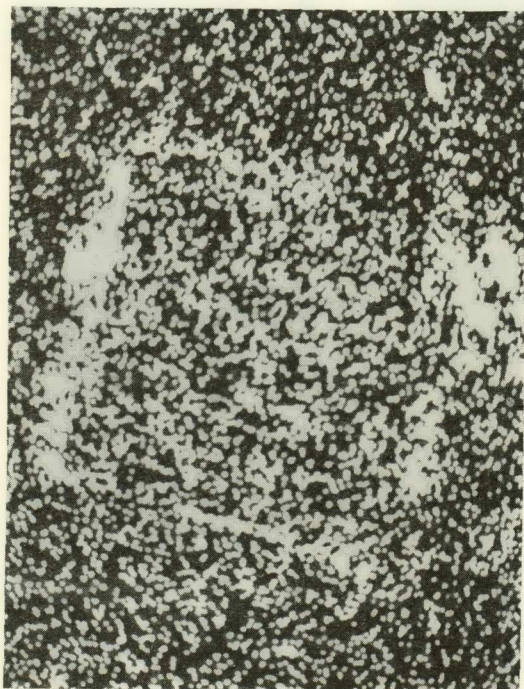
·Ως standards ἔχοησιμοποιήθησαν καθαρὰ στοιχεῖα, αἱ δὲ διορθώσεις ἐγένοντο κατὰ τὴν μέθοδον Birks (Birks, 1971).

Τὰ χρησιμοποιηθέντα διὰ τὴν ἐν λόγῳ ἔρευναν δείγματα ἐκ τοῦ μεταλλεύματος εἶναι ἀφ' ἐνὸς μὲν δείγματα ἀδροκρυσταλλικοῦ τοιούτου μὲ ἴδιομόρφους, εὐμεγέθεις κρυστάλλους σιδηροπυρίτου, θεωρουμένους ψηφλῶν θερμοκρασιῶν, ἀφ' ἐτέρου δὲ στιφροῦ, λεπτοκοκκώδους μεταλλεύματος, θεωρουμένου ἐνδιαμέσων καὶ χαμηλῶν θερμοκρασιῶν.

Κατωτέρω παραθέτομεν ἀναλυτικῶς τὰς γενομένας διαπιστώσεις κατὰ τὴν ἐν λόγῳ μελέτην, ὅσον ἀφορᾷ εἰς τὰ ἔξετασθέντα στοιχεῖα.

Κοβάλτιον.

Ἐκ τῶν μελετηθέντων στοιχείων ἴδιαίτερον ἐνδιαφέρον παρουσιάζει τὸ κοβάλτιον, τὸ δποῖον συγκεντροῦται κατ' ἔξοχὴν ἐντὸς τοῦ σιδηροπυρίτου, ἐν ἀντιθέσει πρὸς τὸν χαλκοπυρίτην, ἐντὸς τοῦ δποίου ἀνευρίσκεται μόνον εἰς ὕχνη. Ἐπί-



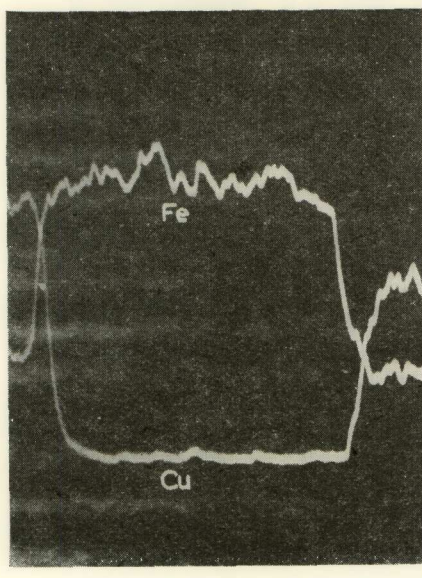
Εἰκ. 3. Κατανομὴ τοῦ Co εἰς τὸν ἴδιόμορφον κρύσταλλον σιδηροπυρίτου τῆς εἰκ. 2, $\times 500$.

σης διαφορὰ παρουσιάζεται ώς πρὸς τὴν συμμετοχὴν καὶ κατανομὴν τοῦ κοβαλτίου ἐντὸς τῶν διαφόρων μορφῶν τοῦ σιδηροπυρίτου.

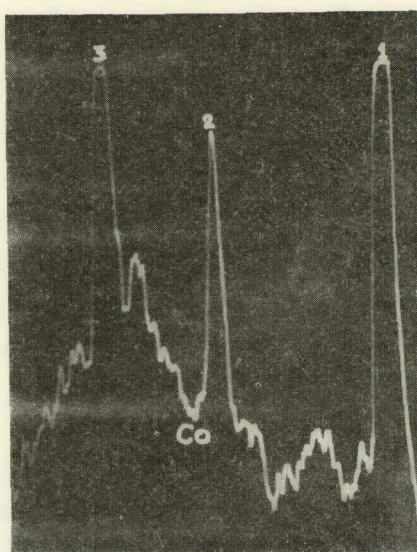
Οὖτω, τὴν μεγαλυτέραν περιεκτικότητα εἰς κοβάλτιον παρουσιάζουν οἱ ἴδιόμορφοι ἔως ὑπιδύμορφοι κρύσταλλοι τοῦ σιδηροπυρίτου, εἰς τοὺς δποίους τὸ κοβάλτιον συγκεντροῦται κυρίως εἰς τὴν περιφέρειαν, σχηματίζον ἐμπλούτισμένον δακτύλιον (εἰκ. 2, 3). Ἡ περιεκτικότης εἰς κοβάλτιον τοῦ περιφερειακοῦ δακτύλιου ἀνέρχεται εἰς ποσοστὸν ἀπὸ 1.7% - 0.7%. Ἐπίσης ἀσθενὴς συγκέντρωσις

Σο παρατηρεῖται καὶ εἰς τὸ ἔσωτερικὸν τῶν κρυστάλλων μὲ ἐκδήλωσιν ἀσθενοῦς ζωνώδους κατανομῆς (εἰκ. 4).

Ἡ τοιαύτη συγκέντρωσις τοῦ κοβαλτίου εἰς περιφερειακὸν δακτύλιον ἀποτελεῖ καθολικὸν φαινόμενον διὰ τοὺς ἴδιομόρφους - ὑπιδιομόρφους κρυστάλλους τοῦ σιδηροπυρίτου ἐν ἀντιθέσει πρὸς τὴν ζωνώδη κατανομήν, ἡ ὅποια ποικίλλει καὶ ὡς πρὸς τὴν συχνότητα ἐμφανίσεως καὶ πρὸς τὴν ἔντασιν καὶ διμοιμορφίαν. Πιθανῶς τὸ τελευταῖον τοῦτο νὰ διφεύλεται εἰς μικράς, τοπικὰς συγκεντρώσεις



α



β

Εἰκ. 4. Γραμμικὰ προφίλ ἀκτίνων - X ἡλεκτρονικοῦ μικροαναλυτοῦ διὰ τὰ στοιχεῖα Co, Cu, Fe τοῦ κρυστάλλου σιδηροπυρίτου τῆς εἰκ. 2., $\times 400$.

κοβαλτίου ἡ μικροσκοπικὰ ἐγκλείσματα κοβαλτιούχων δρυκτῶν ἐντὸς τῶν κρυστάλλων τοῦ σιδηροπυρίτου καὶ οὐχὶ εἰς μίαν ἀληθῆ ζωνώδη κατανομήν τοῦ κοβαλτίου ἐντὸς αὐτοῦ.

Τέλος, ἡ συμμετοχὴ τοῦ κοβαλτίου παρουσιάζει σημαντικὴν μείωσιν κατὰ τὴν μετάβασιν ἐκ σιδηροπυρίτῶν ὑψηλῶν θερμοκρασιῶν πρὸς σιδηροπυρίτας χαμηλοτέρων ἐν γένει θερμοκρασιῶν καὶ κατὰ τὸ μᾶλλον κανονικὴν κατανομήν. Χαμηλὴ (ἴχνη) ἐπίσης εἶναι πάντοτε καὶ ἡ ἐντὸς τοῦ χαλκοπυρίτου συμμετοχὴ τοῦ κοβαλτίου, σαφῶς δὲ κατωτέρᾳ τῆς τῶν σιδηροπυρίτῶν χαμηλῶν ἐν γένει θερμοκρασιῶν. (Πίναξ 1 καὶ 2).

Π Ι Ν Α Ζ 1.

Αναλύσεις δι' ἡλεκτρονικοῦ μικροαναλυτοῦ σιδηροπυριτῶν τοῦ μεταλλεύματος.

	Fe	Cu	Co	Ni	
1*	43.52	Ϊχνη	1.7	Ϊχνη	·Υψηλῶν θερμοκρασιῶν
2*	46.37	Ϊχνη	0.08	Ϊχνη	
3*	44.39	0.1	0.7	Ϊχνη	
4	46.37	0.05	0.23	Ϊχνη	
5	46.44	0.06	0.1	Ϊχνη	
6	45.97	0.05	0.07	Ϊχνη	
7	45.96	0.19	0.07	Ϊχνη	
8	45.99	Ϊχνη	0.09	Ϊχνη	
9	43.35	3.42	0.05	Ϊχνη	
10	43.11	1.95	0.27	Ϊχνη	

Αἱ ἀναλύσεις 1*, 2*, 3* ἀναφέρονται εἰς τὰ ἀντίστοιχα σημεῖα τῆς εἰκ. 4.

Π Ι Ν Α Ζ 2.

Αναλύσεις δι' ἡλεκτρονικοῦ μικροαναλυτοῦ χαλκοπυριτῶν τοῦ μεταλλεύματος.

	Cu	Fe	Co	Ni	
1	32.97	32.39	Ϊχνη	Ϊχνη	·Υψηλῶν θερμοκρασιῶν
2	33.27	32.28	Ϊχνη	Ϊχνη	
3	33.85	31.84	Ϊχνη	Ϊχνη	
4	33.44	32.29	Ϊχνη	Ϊχνη	
5	33.32	32.41	Ϊχνη	Ϊχνη	
6	32.95	32.01	0.03	Ϊχνη	
7	32.96	31.89	0.03	Ϊχνη	
8	32.98	31.69	0.03	Ϊχνη	

‘Η ἔξετασις τῶν στιλπνῶν τομῶν διὰ τοῦ μεταλλογραφικοῦ μικροσκοπίου ἔδειξεν ὅτι ὑφίσταται σχέσις μεταξὺ τῆς περιεκτικότητος εἰς κοβάλτιον καὶ τῆς ἀνακλαστικῆς ἴκανότητος τοῦ σιδηροπυρίτου καὶ μάλιστα ἀντίστροφος πρὸς τὴν περιεκτικότητα εἰς κοβάλτιον. ’Ητοι, περιφερειακῶς τῶν κρυστάλλων τοῦ σιδηροπυρίτου ἐμφανίζεται ζώνη μικροτέρας φωτεινότητος τῆς τοῦ λοιποῦ κρυστάλλου καὶ ἡ δούια ζώνη ἀντιστοιχεῖ πρὸς τὴν παρατηρηθεῖσαν περιφερειακήν ζώνην συγκεντρώσεως τοῦ κοβαλτίου. Τὰ φαινόμενα ταῦτα καθίστανται σαφέστερα εἰς ἔλαιοκατάδυσιν καὶ ὑπὸ ἰσχυρὰν μεγέθυνσιν.

‘Η ἐντὸς τοῦ σιδηροπυρίτου ὑψηλῶν θερμοκρασιῶν κατ’ ἔξοχὴν συγκέντρωσις τοῦ κοβαλτίου ἔρχεται ἐν συμφωνίᾳ μὲ τὸ γεγονός ὅτι τὸ στοιχεῖον τοῦτο ἔχει τάσιν νὰ συγκεντρώνται εἰς διψιμώτερα προϊόντα κρυσταλλώσεως κατὰ τὴν μαγματικὴν διαφοροποίησιν, ἀπαντῷ δὲ ἐντὸς ὑδροθερμικῶν θειούχων ὀρυκτῶν ὑψηλῶν θερμοκρασιῶν. ’Ἐκ τούτων τὸ κοβάλτιον συγκεντρώνται κυρίως εἰς τὸν σιδηροπυρίτην, καθ’ ὅτι κατὰ τὴν διαφοροποίησιν ἀκολουθεῖ τὸν σίδηρον, τὸν δποῖον εὐκόλως δύναται νὰ ἀντικαταστήσῃ. Εὑρέως ἀναφέρεται ἡ συγκέντρωσις κοβαλτίου ἐντὸς σιδηροπυρίτων καὶ μάλιστα σιδηροπυρίτων θεωρούμένων τόσον ὑψηλοτέρων θερμοκρασιῶν, ὅσον ἡ περιεκτικότης των εἰς κοβάλτιον εἶναι μεγαλυτέρα (Goldschmidt, 1958).

‘Οσον δ’ ἀφορᾷ εἰς τὸν τρόπον ἐμφανίσεως τοῦ κοβαλτίου ἐντὸς τῶν ἰδιομόρφων κρυστάλλων τοῦ σιδηροπυρίτου πιθανώτατα ὁ σχηματισμὸς τοῦ περιφερειακοῦ δακτυλίου διφεύλεται εἰς ἀπόμιξιν καὶ ἐν συνεχείᾳ μετακίνησιν τοῦ ἀπομιχθέντος ὑλικοῦ πρὸς τὴν περιφέρειαν τοῦ κρυστάλλου. Τοῦτο δυνατὸν νὰ προέκυψῃ ἐξ ἀνασυστάσεως καὶ πιθανῶς τοπικῆς ἀνακατανομῆς ὑπὸ συνθήκας αὐξανομένων θερμοκρασιῶν καὶ πιέσεων.

Πειραματικαὶ ἔρευναι ἐπ’ αὐτοῦ ἀναφέρουν ὅτι εἰς τὸν 300^oC ἡ θειούχος φάσις εἶναι ἐμπλουτισμένη εἰς κοβάλτιον καὶ κρυσταλλουμένη εἰς κλειστὸν σύστημα δύναται νὰ δώσῃ ζωνώδεις κρυστάλλους μὲ ἐν τμῆμα πλούσιον εἰς κοβάλτιον καὶ ἔτερον πλούσιον εἰς σίδηρον. ’Ετεροι ἔρευναι θεωροῦν ὅτι ἡ ἀπόμιξις καττιερίτου (CoS_2) ἡ ἡ ὁμογενοποίησις τοῦ κρυστάλλου τοῦ σιδηροπυρίτου περιέχοντος κοβάλτιον δυνατὸν νὰ προέρχεται ἀπὸ ἀποτόμους μεταβολὰς διὰ διαχύσεως ἀτόμων σιδήρου καὶ κοβαλτίου ἐντὸς τοῦ κρυστάλλου, κατὰ τὰς μεταβολὰς τῆς θερμοκρασίας (αὔξησις).

Νικέλιον.

Τὸ στοιχεῖον τοῦτο δὲν παρουσιάζει ἰδιαίτερον ἐνδιαφέρον, καθ’ ὅσον εἰς ἔλαχιστα μόνον ἵχνη ἀπαντῷ ἐντὸς τοῦ χαλκοπιρίτου, οὐδόλως δὲ ἐντὸς τοῦ σιδη-

φοπυρίτου ἐν γένει. Πιθανῶς, τὸ στοιχεῖον τοῦτο ἔδεσμεύθη εἰς πρώτα προϊόντα κρυσταλλώσεως λόγῳ τῆς τάσεώς του νὰ εἰσέρχεται εἰς παράγωγα λίαν ύψηλῶν θερμοκρασιῶν, διὸ καὶ ἡ ποσότης του, ἡ δποία συνεκεντρώθη εἰς τὴν θειοῦχον φάσιν, ἥτο ἐλαχίστη.

Χ α λ κ ο ς .

³Ἐκ τῆς γενομένης ἐρεύνης, ὁ χαλκὸς ἐμφανίζεται διμοιομόρφως κατανεμημένος ἐντὸς τοῦ σιδηροπυρίτου. Διαφορὰ παρατηρεῖται εἰς τὸ ποσοστὸν συμμετοχῆς αὐτοῦ ἐντὸς τῶν διαφόρων μορφῶν τοῦ σιδηροπυρίτου καὶ δὴ ὁ χαλκὸς ἀπαντᾶ εἰς ἕχνη ἐντὸς τῶν σιδηροπυρίτῶν ύψηλῶν θερμοκρασιῶν, εἰς ηὑξημένην δὲ περιεκτικότητα εἰς τοὺς σιδηροπυρίτας χαμηλοτέρων θερμοκρασιῶν. Τὰ διὰ τοῦ μικροαναλυτοῦ διερευνηθέντα πλούσια εἰς χαλκὸν σημεῖα ἐντὸς κρυστάλλων σιδηροπυρίτου ἀντιστοιχοῦν εἰς μικροσκοπικὰ ἔγκλείσματα χαλκοπυρίτου.

“Οσον δ’ ἀφορᾶ εἰς τὰς ἀναλύσεις χαλκοῦ τοῦ χαλκοπυρίτου αὕται ἔδειξαν μικροτέραν συμμετοχὴν αὐτοῦ (33 %) ἀπὸ τὴν συνήθως διδομένην εἰς τὴν βιβλιογραφίαν (34 %), ἐν ἀντιμέσει πρὸς τὸν σίδηρον αὐτοῦ (32 %) ὁ δποῖος εἶναι περισσότερος τοῦ συνήθους (30 %). ³Ἐκ τῆς μελέτης τοῦ συστήματος Cu-Fe-S καταφαίνεται ὅτι ὁ χαλκοπυρίτης ἐμπλουτίζεται προοδευτικῶς εἰς σίδηρον ὑπὸ αὐξανομένην θερμοκρασίαν καὶ εἶναι εὔσταθής μετὰ σιδηροπυρίτου, ἐνῷ εἰς χαμηλοτέρας θερμοκρασίας ὁ εὔσταθής μετὰ σιδηροπυρίτου χαλκοπυρίτης εἶναι πλουσιώτερος εἰς χαλκόν.

³Ἐκ τῶν ἀνωτέρω προκύπτει ὅτι ὁ σχηματισμὸς τῆς μεταλλογενέσεως ἔλαβε χώραν ἐντὸς εὐρέος πλαισίου θερμοκρασιῶν τοῦ ὑδροθερμικοῦ σταδίου. Ἡ ἔναρξης δὲ τῆς κρυσταλλώσεως ἥρχισεν ἐκ τῶν ύψηλοτέρων θερμοκρασιῶν αὐτοῦ μὴ ἀποκλειομένης καὶ μικρᾶς συμμετοχῆς τῆς πνευματολύσεως μὲ τὸν σχηματισμὸν τοῦ μαγνητίτου.

S U M M A R Y

The present study deals with the Co, Ni distribution in the Hermioni's ore deposit, investigated with an electron-microprobe.

As a result, the following conclusions appear of general validity :

1) The idiomorphic crystals of pyrite are characterized by high cobalt content.

2) Cobalt is concentrated in a rim bordering the idiomorphic pyrite crystals.

3) Nickel seems uniform and very low (only traces).

These are new data for Hermioni's ore deposit and indicate high-range temperature conditions in respect to the crystallization's beginning of the present paragenesis.

ΠΕΡΙΛΗΨΙΣ

Η παρούσα μελέτη άναφέρεται εἰς τὴν ἔρευναν τῆς περιεκτικότητος κα κατανομῆς τῶν ἰχνοστοιχείων Co, Ni καὶ Cu εἰς τὸ μετάλλευμα Ἐρμιονίδος Ἀργολίδος (τῶν Co καὶ Ni ως ἰχνοστοιχείων τοῦ μεταλλεύματος καὶ τοῦ Cu ως διλιγοστοιχείου ἐντὸς τοῦ σιδηροπυρίτου).

Ἡ ἔρευνα ἐπραγματοποιήθη διὰ τῆς χρησιμοποιήσεως τοῦ ἡλεκτρονικοῦ μικροαναλυτοῦ τοῦ Ἐργαστηρίου Κοιτασματολογίας τοῦ Πανεπιστημίου Ἀθηνῶν.

Ἐκ τῆς γενομένης ἔρεύνης διεπιστώθησαν τὰ κάτωθι :

1. Οἱ ἴδιομορφοι κρύσταλλοι σιδηροπυρίτου τοῦ μεταλλεύματος ἐμφανίζουν ηὑξημένην περιεκτικότητα εἰς κοβάλτιον, ἐν σχέσει πρὸς τοὺς σιδηροπυρίτας στιφροῦ καὶ λεπτοκοκώδους μεταλλεύματος.

2. Ἡ κατανομὴ τοῦ κοβαλτίου τῶν ἀλλοτριομόρφων κρυστάλλων εἶναι κανονική, ἐνῷ εἰς τοὺς ἴδιομορφους τὸ κοβάλτιον συγκεντροῦται κατὰ τὸ μᾶλλον περιφερειακῶς δίκην δακτυλίου.

3. Τὸ νικέλιον ἀνευρέθη εἰς ἵχνη, μόνον ἐντὸς τοῦ χαλκοπυρίτου.

4. Ο χαλκὸς ἐμφανίζεται εἰς ἵχνη ἐντὸς τῶν ἴδιομορφων κρυστάλλων τοῦ σιδηροπυρίτου ἐνῷ εἰς τοὺς ἀλλοτριομόρφους παρουσιάζει ηὑξημένην συμμετοχήν. Ἐπίσης ἡ συμμετοχὴ τοῦ χαλκοῦ εἰς τοὺς χαλκοπυρίτας εἶναι μειωμένη ἐναντὶ ηὑξημένης συμμετοχῆς σιδήρου, ἐν σχέσει πρὸς τὴν συνήθως διδομένην σύστασιν αὐτῶν.

ΒΙΒΛΙΟΓΡΑΦΙΑ

1. Σ. Αρανίτης, 'Η γένεσις τῶν ἐκρηξιγενῶν πετρωμάτων τῆς Ἐρμιονίδος καὶ τὰ μετ' αὐτῆς συνδεόμενα φαινόμενα μεταλλογενέσεως. *Ann. géol. des Pays Hellén.*, T. 14, 6 (1963), 213 - 304.
 2. Γ. Αρώνης, "Ερευνα ἐπὶ τῆς γενέσεως τῶν κοιτασμάτων σιδηροπυρίτου τῆς Ἐρμιόνης. Διατρ. ἐπὶ διδακτ. Πανεπ. Ἀθηνῶν. Ἀθῆναι, 1938.
 3. P. Bartholomé - T. Katesha, Cobalt zoning in Microscopic Pyrite from Kamoto, Republic of the Congo (Kinshasa). *Min. Dep.*, Vol. 6, No 3 (1971), p. 167.
 4. L. S. Birks, Electron probe microanalysis. Wiley Interscience, 1971.
 5. A. C. Brown - P. Bartholomé, Inhomogeneities in Cobaltiferous Pyrite from the Chibuluma Cu-Co Deposit, Zambia. *Min. Dep.*, Vol. 7, No 1 (1972), p. 100.
 6. V. H. Goldschmidt, Geochemistry. Oxford University Press, 1958.
 7. G. Lofftus - Hills and M. Solomon, Cobalt, Nickel and Selenium in Sulphides as Indicators of Ore genesis. *Min. Dep.*, Vol. 2, No 3 (1967), p. 228.
 8. L. Moussoulos, Les gisements Pyriteux du district minier d'Hermione. *Ann. Géol. des Pays Hellén*, Vol. 9 (1958), p. 119 - 164.
 9. Γ. Παρασκευόπουλος, Κοιτασματολογία I. Ἀθῆναι, 1969.
-